

## Колебания цепочек(8)

---

Гебриал Ибрам Есам Зекри НПИ-01-18

Каримов Зуфар Исматович НПИ-01-18

Волков Тимофей Евгеньевич НПИ-01-18

Гаджиев Нурсултан Тофик оглы НПИ-01-18

## Введение

---

## Математический маятник

Рассмотрим математический маятник: небольшой грузик массы  $m$  на нерастяжимой невесомой нити длины  $l$ . Пусть этот маятник совершает малые колебания вблизи положения равновесия и в некоторый момент времени нить маятника составляет угол  $\alpha$  с вертикалью (рис. 1).

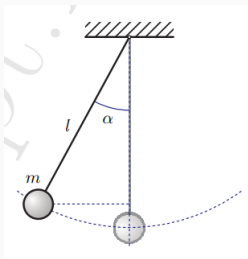


Figure 1: Рисунок 1. Математический маятник.

$$\frac{mv^2}{2} + mgl(1-\cos\alpha) = E_0, \quad (1)$$

где ноль потенциальной энергии принят в положении равновесия.

Воспользовавшись условием, что колебания происходят с малой амплитудой (т. е. угол  $\alpha$  мал), используем приближение  $\cos \alpha = 1 - \frac{\alpha^2}{2}$ .

Скорость движения грузика  $v = \omega l = \alpha l$ , где  $\omega$  — мгновенная угловая скорость вращения. Тогда уравнение (1) принимает вид

$$\frac{ml^2\alpha'^2}{2} + \frac{mgl\alpha^2}{2} = E_0, \text{ или } \alpha'^2 + \frac{g}{l} * \alpha^2 = \frac{2E_0}{ml^2}$$

После дифференцирования имеем

$$\alpha'' + \frac{g}{l} * \alpha = 0$$

или, вводя обозначение  $\omega_0^2 = \frac{g}{l}$ , получаем

$$\alpha'' + \omega_0^2 * \alpha = 0 \quad (2)$$

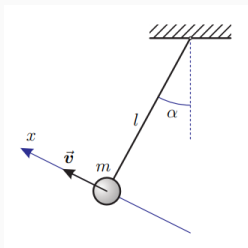
аналогичное уравнению

$$x'' + \omega_0^2 x = 0$$

Период колебаний такого маятника:

$$T = \frac{2\pi}{\omega_0} = 2\pi \sqrt{\frac{1}{g}}$$

Рассмотрим математический маятник длины  $l$  и массы  $m$ , совершающий малые колебания вблизи положения равновесия и испытывающий со стороны окружающей среды воздействие силы трения, величина которой пропорциональна скорости груза маятника (рис. 2)



**Figure 2:** Рисунок 1. Математический маятник под действием силы трения.

$$m \cdot v'' = -\beta v - mg \sin \alpha$$

учитывая, что  $v = l\alpha'$ , а колебания малые, получаем

$$\alpha'' + \frac{\beta}{m} \alpha' + g \cdot l \cdot \alpha = 0$$

или вводя обозначения  $\delta = \frac{\beta}{2m}$  и  $\omega_0^2 = \frac{g}{l}$ , находим  $\alpha'' + 2\delta \alpha' + \omega_0^2 \alpha = 0$  (3)

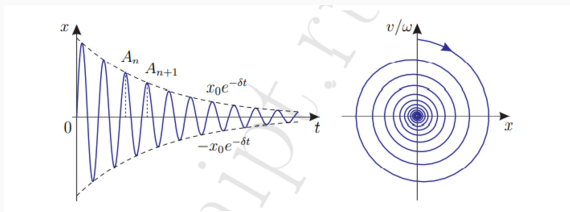
В обоих приведенных примерах мы пришли к уравнению свободных затухающих гармонических колебаний:

$$x'' + 2\delta x' + \omega_0^2 x = 0. \quad (4)$$

В зависимости от соотношения между  $\delta$  и  $\omega_0$  уравнение (4) будет иметь различные решения:

а) При  $\omega_0 > \delta^2$  решение уравнения (4) имеет вид

$$x(t) = x_0 e^{-\delta t} \cos(\omega t + \varphi), \quad \omega = \sqrt{\omega_0^2 - \delta^2} \quad (5)$$



**Figure 3:** Рис 3 и 4. Зависимость координаты  $x$  от времени  $t$  и фазовая диаграмма затухающих колебаний

б) При  $\omega_0^2 < \delta^2$  решение уравнения (4) имеет вид

$$x(t) = x_{01} e^{-\delta t} e^{\sqrt{(\delta^2 - \omega_0^2)}t} + x_{02} e^{-\delta t} e^{-\sqrt{(\delta^2 - \omega_0^2)}t} \quad (6)$$



в) При  $\omega_0^2 = \delta^2$  решение уравнения (4) имеет вид

$$x(t) = x_{01} e^{-\delta t} + x_{02} t e^{-\delta t} \quad (7)$$

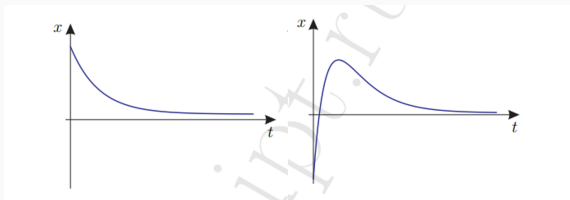


Figure 4: Рис 5 и 6. Пример осциллограмм в случае большого трения

## Заключение

---